

توسعه روش ترکیبی المان مرزی و حل عددی معادلات متوسط‌گیری شده ناویر-استوکس به منظور تحلیل هیدرودینامیکی سیستم رانش پاددار

رضا شمسی^۱، حسن قاسمی^{۲*}

۱- دانش آموخته دکتری، مهندسی دریا، دانشگاه صنعتی امیرکبیر، تهران
۲- استاد، مهندسی دریا، دانشگاه صنعتی امیرکبیر، تهران
*gasemi@aut.ac.ir، ۱۵۸۷۵-۴۴۱۳ *تهران، صندوق پستی

چکیده

سیستم‌های رانش پاددار یکی از آخرین نوآوری‌ها در زمینه سیستم‌های رانش دریایی است. تحلیل هیدرودینامیکی این سیستم پیچیده‌تر از سیستم‌های رانش معمولی پروانه و سکان است. روش‌های عددی مختلفی در تحلیل هیدرودینامیکی سیستم رانش پاددار استفاده شده، محدوده این روش‌ها شامل روش‌های کامل تا روش‌های کاملاً ویسکوز و یا روکرد استفاده از روش‌های ترکیبی است. هدف اصلی این تحقیق توسعه یک روش عددی ترکیبی بر مبنای روش‌های پتانسیل و ویسکوز برای تحلیل هیدرودینامیکی سیستم‌های رانش پاددار است. جریان در این روش ترکیبی پیشنهادی پتانسیل و ویسکوز حول اجزای چرخشی (پروانه) به وسیله یک کد پتانسیل توسعه داده شده به روش المان مرزی شبیه‌سازی شده است؛ سپس از یک حل گر ویسکوز بر مبنای حل عددی معادلات متوسط‌گیری شده ناویر-استوکس برای تحلیل جریان حول اجزای غیرچرخشی (پاد و استرات) استفاده می‌شود. در این بخش اثر پروانه به وسیله یک توزیع پراکنده نیرو متعادل بیان می‌شود که به صورت نیروهای جرمی به سمت راست معادله مومنتوم اضافه می‌شود. در این حالت دو سیکل انتقال برای کوپل تتابع بین دو حل گر پتانسیل و ویسکوز وجود دارد. در مرحله نخست دقت این روش ترکیبی با تحلیل هیدرودینامیکی یک پروانه به تهایی مورد بررسی و معترضازی شد. در ادامه کل سیستم رانش پاددار در جریان مستقیم با استفاده از روش پیشنهادی مورد مطالعه و بررسی قرار گرفته و نتایج شامل ضرایب تراست و گشتاور پروانه و نیروی کل سیستم رانش است. در ادامه نتایج به دست آمده با نتایج تجربی مقایسه شده و دقت این روش ترکیبی ارزیابی شده است.

اطلاعات مقاله

مقاله پژوهشی کامل

دربافت: ۰۹ آبان ۱۳۹۵

پذیرش: ۲۱ دی ۱۳۹۵

ارائه در سایت: ۱۰ بهمن ۱۳۹۵

کلید واژگان:

روش ترکیبی

روشن المان مرزی

روشن معادلات متوسط‌گیری شده ناویر-استوکس

سیستم رانش پاددار

A BEM/RANS Coupled Method for Numerical Simulations of Podded Drive System

Reza Shamsi¹, Hassan Ghassemi^{*1}

1- Department of Maritime Engineering, Amirkabir University of Technology, Tehran, Iran
* P.O.B. 15875-4413 Tehran, Iran, gasemi@aut.ac.ir

ARTICLE INFORMATION

Original Research Paper

Received 30 October 2016

Accepted 10 January 2017

Available Online 29 January 2017

Keywords:

Coupled Method

BEM Method

RANS Method

Podded Drive System

ABSTRACT

Podded drive systems are one of the recent innovations in marine propulsion systems. Hydrodynamic analysis of this system is more complicated than conventional propeller-rudder systems. The different numerical methods have been used in the hydrodynamic analysis of podded drive systems. The range of these methods is from the potential method or potential/viscous approach to pure viscous methods. In this paper, we applied coupled approach in this regard. The main purpose of this research is developing a BEM/RANS coupled method for numerical simulation of podded drives. In the proposed Potential/Viscous coupled method, the flow around rotating part (propeller) is simulated by a BEM code. Then fixed parts (pod and strut) are modeled by a RANS solver. In RANS solver, the propeller can be substituted by a set of equivalent forces which is called body force and added in the right hand of momentum equation. Two cycles are available for coupling the result between potential and viscous method. The coupled method is first studied and validated with a single propeller. Afterward, the propulsive performance of the podded drive systems is studied. The results include the propeller thrust coefficient, the propeller torque coefficient, and the axial force coefficient. The results obtained by coupled method are compared to and verified by the experimental data.

ارتعاشات و نویز کمتر و قابلیت عملکرد مطمئن‌تر است. سیستم‌های رانش

پاددار^۱، پروانه‌های نازل‌دار و سیستم‌های واژرت جت نمونه‌های از طرح‌های موفق در این زمینه است. سیستم رانش پاددار از تازه‌ترین ابداعات در زمینه

۱- مقدمه

در دهه‌های اخیر تقاضا برای شناورهای با سرعت بالا در بخش‌های نظامی و تجاری دارای روند رو به رشدی بوده است. این موضوع سبب طراحی بیشتر ندهای دریایی با هندسه‌های پیچیده شده که دارای راندمان بالاتر،

¹ Podded Drive System

Please cite this article using:

R. Shamsi, H. Ghassemi, A BEM/RANS Coupled Method for Numerical Simulations of Podded Drive System, *Modares Mechanical Engineering*, Vol. 17, No. 2, pp. 65-76, 2017 (in Persian)

برای ارجاع به این مقاله از عبارت ذیل استفاده نمایید:

این موضوع سبب به کارگیری و توسعه تکنیک‌های عددی در تحلیل هیدرودینامیکی سیستم‌های رانش پاددار شده است. از روش‌های عددی مختلفی برای تحلیل هیدرودینامیکی سیستم رانش پاددار استفاده می‌شود. محدوده این روش‌ها شامل روش‌های پتانسیل کامل تا روش‌های کاملاً ویسکوز است. به طور کلی روش‌های به کارگرفته شده بر مبنای دینامیک سیالات محاسباتی به دو دسته جریان غیرویسکوز و جریان ویسکوز تقسیم‌بندی می‌شوند. روش‌های غیرویسکوز بر مبنای تئوری پتانسیل شکل گرفته، در حالی که مبنای ایجاد روش‌های ویسکوز استفاده از حل عددی معادلات ناویر-استوکس و معادله پیوستگی است [3].

روش‌های پتانسیل مختلفی روش خطوط برآ، سطوح برآ² و المان مرزی³ برای تحلیل پروانه‌های دریابی ارائه شده است. روش المان مرزی یک ابزار مناسب و قوی برای تحلیل هیدرودینامیکی پروانه شناورهای و تاکتون محققان زیادی با استفاده از این روش نتایج قابل پذیرشی به دست آورده‌اند [4]. در این روش برخلاف دیگر روش‌های محاسباتی (اجزا محدود و یا حجم محدود)، تولید المان فقط در مرز جسم انجام و منجر به کاهش زمان و هزینه محاسباتی می‌شود. هر چند روش‌های پتانسیل اثرات ویسکوزیته را در نظر نمی‌گیرد و جریان غیرچرخشی مفروض است. کاربردهای این روش علاوه‌بر هیدرودینامیک و مکانیک سیالات در دیگر زمینه‌های مهندسی از جمله مکانیک سازه‌ها، دینامیک و ارتعاشات است [6,5].

از نخستین کارهای عددی انجام‌شده در زمینه تحلیل هیدرودینامیکی سیستم رانش پاددار توسط قاسمی و همکارش [7] به روش المان مرزی در سال 1999 بود. عملکرد این سیستم در جریان مستقیم مورد بررسی و تحلیل قرار گرفت. در این راستا جهت بررسی اثر زاویه یاو آچکیندز و همکاران [8] یک روش پائل شبه یکنواخت بر مبنای سرعت ایجاد و از ضرایب اصلاحی تجربی مربوط به لیفت و درگ برای مقاطع پره و استرات و سرعت‌های القایی پروانه برای بهبود این روش استفاده کرد. روش پتانسیل لیو و همکاران از مهمترین و تازه‌ترین تحقیقات در زمینه تحلیل سیستم‌های پاددار است [9,10]. ضعف روش‌های پتانسیل عدم پیش‌بینی صحیح نیروهای مقاومت پاد و نیروهای وارد به مجموعه در زوایای یاو بالاست. این موضوع قابلیت‌های روش پتانسیل را در برابر مسائلی چون پیش‌بینی مقاومت پاد و یا اندرکش بین پروانه و مجموعه پاد محدود می‌کند. برای بهبود نتایج روش المان مرزی می‌توان از روش ضرایب اصلاحی تجربی مربوط به لیفت و درگ مقاطع پره و استرات و سرعت‌های القایی پروانه استفاده کرد. هرچند این روش اصلاحی کاربرد محدودی دارد. روش المان مرزی در سرعت‌ها و زوایا بالا در حل این مسئله مشخص کاربرد جندانی ندارد.

در سیستم‌های پاددار اندرکنش بین پروانه و مجموعه پاد و استرات بسیار مهم است. ویسکوزیته و غیریکنواختی جریان نقش اصلی را در این تقابل ایفاد می‌کند. هنگامی که سیستم‌های پاددار در معرض جریان غیرمستقیم قرار می‌گیرند و اثرات جدایی جریان اعمال می‌شوند، این امر تشديید می‌شود. در دینامیک سیالات محاسباتی ویسکوز، روش معادلات متوضع‌گیری شده ناویر-استوکس یا RANS⁴ یک روش مناسب و معادل برای محاسبه این نوع اندرکنش‌هاست. نخستین کاربردهای این روش برای تحلیل سیستم‌های پاددار به اواخر دهه نود میلادی بازمی‌گردد. سانچز و همکاران [11] جریان را در اطراف یک پاد فشاری با استفاده از یک حل گر که

سیستم‌های رانش کشتی هاست که کاربردهای مختلف تجاری و نظامی دارد. سیستم پیش‌برنده پاددار شامل یک پروانه گام ثابت است که توان آن به وسیله یک موتور الکتریکی تأمین و با یک شفت کوتاه منتقل می‌شود. شفت و موتور الکتریکی در داخل پوسته پاد قرار گرفته‌اند. مجموعه پاد از طریق استرات⁵ و سیستم یاتاقان به بدنه کشتی متصل می‌شود. این سیستم به مجموعه پاد قابلیت چرخش 360 درجه‌ای می‌هد و از این طریق پروانه می‌تواند نیروی تراست را در جهت‌های مختلف ایجاد کند (شکل 1). توانایی ایجاد تراست در جهات مختلف و افزایش چشمگیر قابلیت مانورپذیری شناور مهم‌ترین مزیت این سیستم در قیاس با سیستم‌های پروانه‌ای معمولی است. سیستم‌های رانش پاددار با توجه به موقعیت قرارگیری پروانه به دو دسته کلی سیستم پاد کششی و سیستم پاد فشاری تقسیم می‌شوند. در سیستم پاد کششی پروانه در جلوی پاد و پیش از استرات، اما در سیستم پاد فشاری پروانه در انتهای پاد و پس از استرات قرار گرفته است. در سرعت‌های بالا راندمان سیستم فشاری به دلیل قرار گرفتن پروانه در ویک شدید استرات کاهش می‌یابد. در مقابل سیستم پاد کششی دارای مزایایی از جمله راندمان بالا و کنترل پذیری بهتر است [1].

با توجه به استقبال از سیستم‌های رانش پاددار و روند رو به رشد نصب این سیستم بر شناورهای تجاری و نظامی و مزایا استفاده از آن براساس مقالات علمی و صنعتی منتشر شده، مشکلات عملیاتی در استفاده از این سیستم وجود دارد که در سیستم‌های رانش معمولی مشاهده نشده است. در بررسی‌های انجام شده مشخص گردید که خرایی سیستم یاتاقان‌بندی از مهم‌ترین دلایل عیوب مکانیکی این سیستم‌های است. نداشتن پیش‌بینی درست نیروهای وارد بر سیستم رانش پاددار در شرایط مختلف کاری از دلایل اصلی وقوع خرایی در سیستم یاتاقان‌بندی است. طراحی بهینه سیستم یاتاقان‌بندی نیازمند مطالعه و بررسی دقیق نیروها و ممان‌های وارد بر آن ناشی از پروانه و پاد در شرایط کاری با زوایای یاو مختلف است. در سیستم‌های پاددار اندرکش بین پروانه و مجموعه پاد و استرات بسیار مهم است. ویسکوزیته و غیریکنواختی جریان نقش اصلی این تقابل را ایفاد می‌کند. این پیچیدگی هنگام فعالیت سیستم پاددار در زوایا مختلف یاو افزایش می‌یابد. در این حالت نیروها و ممان‌های پروانه بر حسب تابعی غیرخطی از زاویه یاو و سرعت پیش روی تغییر می‌کند [2].

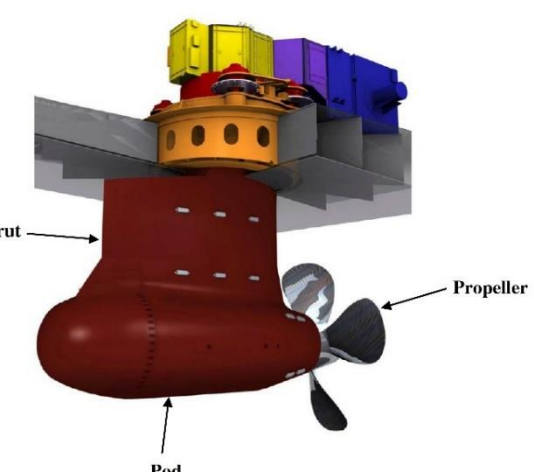


Fig. 1 Podded drive system (included propeller, pod, and strut)

شکل 1 سیستم رانش پاددار (شامل پروانه، پاد و استرات)

¹ Strut

² Lifting Line

³ Lifting Surface

⁴ Boundary Element Method

⁵ Reynolds-Averaged Navier-Stokes

2- هیدرودینامیک پروانه و سیستم رانش پاددار

برای حرکت شناور در یک سرعت معین نیازمند به اعمال نیروی غالب بر مقاومت آب است. این نیرو به وسیله پروانه تولید می‌شود. پروانه از تعدادی پره تشکیل شده که حول توپی پروانه فرار گرفته، مجموعه پروانه با حرکت دورانی شفت شناور در حال چرخش است. اگر هر مقطع پروانه به صورت یک فویل فرض شود، اختلاف فشار ایجاد شده میان دو سطح رخ و پشت پره سبب ایجاد نیروی تراست و حرکت کشته می‌شود. چنان‌چه پروانه با سیالی با سرعت محوری (V) و با سرعت زاویه‌ای ثابت $\omega = 2\pi n$ بخورد کند نیروی تراست (T) و یا توان (TV) را ایجاد می‌کند، در حالی که توان $2\pi n Q$ را مصرف می‌کند؛ بنابراین راندمان به صورت رابطه (1) خواهد بود.

$$\eta = \frac{TV}{2\pi n Q} \quad (1)$$

مشخصات عملکردی پروانه را می‌توان به صورت ضرایب بدون بعد تعريف کرد که به ترتیب عبارت از ضریب پیشروی، ضریب تراست، ضریب گشاور و راندمان پروانه، روابط (5-2) است.

$$J = \frac{V}{nD} \quad (2)$$

$$K_T = \frac{T}{\rho n^2 D^4} \quad (3)$$

$$K_Q = \frac{T}{\rho n^2 D^5} \quad (4)$$

$$\eta = \frac{J K_T}{2\pi K_Q} \quad (5)$$

در یک سیستم رانش پاددار، ضرایب نیروهای محوری و جانبی به صورت روابط (7.6) تعريف می‌شود.

$$K_{Fx} = \frac{F_x}{\rho n^2 D^4} \quad (6)$$

$$K_{Fy} = \frac{F_y}{\rho n^2 D^4} \quad (7)$$

که F_x و F_y به ترتیب نیروهای کل وارد بر سیستم رانش در جهت‌های محوری و جانبی است.

3- روش المان مرزی

در سال‌های اخیر روش المان مرزی به عنوان یکی از ابزارهای محاسباتی در هیدرودینامیک شناورها کاربرد بسیاری داشته است. روش مورینو که یک روش پانل بر مبنای پتانسیل است در سال 1974 ارائه شد. این روش بر مبنای فرمولاسیون گرین، که در آن مجھولات پتانسیل است، در حالی که در دیگر روش‌های پیش از این بر مبنای فرمولاسیون سرعت بودند که ضرایط مرزی بر سطح جسم از محاسبه مستقیم سرعت برآورده می‌شدند [16]. روش پانل بر مبنای پتانسیل مورینو نسبت به روش‌های پانل بر مبنای سرعت پایدارتر و مماس‌تر برای محاسبات عددی است، زیرا درجه سینگولاریتی پتانسیل یک درجه کمتر از سرعت است. روش مورینو تاکنون به وسیله افراد دیگری برای پروانه‌های دریایی به صورت موفقیت‌آمیز استفاده شده است [18,17].

3- معادلات حاکم

مسئله جریان در اطراف یک پروانه را می‌توان به صورت زیر بیان کرد. ناحیه پسته V را مطابق شکل 2 با مرز S و بردار واحد \hat{n} عمود بر S در نظر گرفت. مرز S ناحیه جریان شامل سطح جسم S_B ، سطح دنباله S_W و سطح کنترل بیرونی S_∞ که سطح جسم و دنباله را احاطه کرده است. با این فرض که

مبانی حل آن روش رانز^۱ است به صورت غیریکنواخت تحلیل کرد. کارهای عددی انجام شده به وسیله امینی و همکارش [12] و شمسی و همکاران [14,13] از تازه‌ترین کارهای انجام شده در این زمینه به روش رانز است. روش‌های ویسکوز یک راه کار مناسب برای تحلیل جریان حول اجسام با اجزای غیرچرخشی و چرخشی در کنار یکدیگر است. هر چند این روش زمان بر و پرهزینه‌تر از روش‌های عددی دیگر است. مهم‌ترین مشکل در این روش مدل‌سازی اجزای چرخشی سیستم رانش است، به خصوص در مسائل غیرمتقارن، هنگامی که نیاز به مشاهد لغزان است این موضوع اهمیت ویژه‌ای دارد. یک راه حل مناسب استفاده از روش‌های ترکیبی ویسکوز و پتانسیل برای تحلیل هیدرودینامیکی مجموعه پاد و پروانه است.

همان‌طور که بیان شد هر یک از روش‌های پتانسیل و ویسکوز دارای مزایا و معایب مشخص با تأثیرگذاری در تحلیل سیستم‌های پاددار است. روش‌های پتانسیل یک ابزار سریع و با دقت مناسب برای طراحی و تحلیل این سیستم‌هاست. هرچند جهت بررسی برخی از مسائل مرتبط با سیستم‌های رانش پاددار مانند اثر مقیاس در بین نتایج مدل و اندازه واقعی، تأثیر زاویه یا و پدیده کاویاتسیون نیازمند استفاده از روش‌های ویسکوز است. روش‌های ویسکوز با وجود توانایی بالا در تحلیل‌های هیدرودینامیکی ضعف‌هایی در زمینه مدل‌سازی، تولید شبکه حل و زمان محاسباتی دارد که این موارد در تحلیل سیستم‌های رانش پاددار که با پیچیدگی‌های هندسی خاصی شدت می‌یابد.

با توجه به این موارد در چند سال اخیر پژوهشگران و محققان سعی کردنده با استفاده از روش‌های ترکیبی غیرویسکوز/ ویسکوز بتواند در جهت رفع معایب یادشده و بهبود حل گام بردارند. در تحلیل هیدرودینامیکی سیستم‌های رانش پاددار به کمک روش‌های ترکیبی سعی می‌شود جریان در اطراف پروانه با روش‌های پتانسیل تحلیل می‌شود، ولی جریان در اطراف مجموعه پاد و استرات با روش‌های ویسکوز شبیه‌سازی می‌شود. روش ترکیبی المان مرزی با ویسکوز یک از تازه‌ترین روش‌های ترکیبی در زمینه تحلیل‌های هیدرودینامیکی در حوزه دریایی است. این روش نخستین بار برای تحلیل هیدرودینامیکی جریان حول بدنه و پروانه و بررسی اثر اندرکنش بین بدنه و پروانه^۲ استفاده شده است [15].

در این روش جریان حول پاد و استرات با کمک روش ویسکوز مانند روش معادلات متوضط گیری شده ناویر- استوکس تحلیل شده و عملکرد پروانه با روش المان مرزی پیش‌بینی می‌شود، سرانجام این روش‌ها به منظور در نظر گرفتن اثرات پروانه، پاد و استرات بر هم با یکدیگر کوپل می‌گرددند. در این اثر پروانه نیز به وسیله نیروهای حجمی^۳ در روش ویسکوز اعمال می‌گردد.

هدف اصلی توسعه یک روش ترکیبی المان مرزی/ ویسکوز و استفاده از آن تحلیل هیدرودینامیکی سیستم رانش پاددار است. در این راستا نخست به معروف مشخصات هیدرودینامیکی پروانه‌های دریایی پرداخته می‌شود، سپس معادلات حاکم در دو روش المان مرزی و روش معادلات متوضط گیری شده ناویر- استوکس بررسی می‌شود. در نهایت اصول روش ترکیبی معرفی شده و روش کوپل نتایج بین این دو روش تشریح می‌شود. از این روش ترکیبی در تحلیل یک سیستم رانش پاددار در جریان مستقیم استفاده و نتایج عددی حاصل با نتایج تجربی مقایسه شده است.

¹ RANS

² Hull-propeller interaction

³ Body Force

2-3- شرایط مرزی

مسئله مقدار مرزی بالا با مشخص کردن سه شرط مرزی روی مرز S به صورت زیر ساخته می‌شود.

(الف) شرط سرعت مماسی روی سطح خیس شده: شرط مرزی جنبشی این است که سرعت جریان عمود بر سطح جسم S_B باید صفر، به صورت رابطه (12)، باشد.

$$\frac{\partial \varphi}{\partial n} = \vec{V}_I \cdot \vec{n} = -(\vec{V}_A \times \vec{\omega}) \cdot \vec{r} \quad (12)$$

که \vec{n} بردار واحد عمود به سمت خارج مرز است. سرعت جریان ورودی به پروانه به صورت روابط (14,13) بیان می‌شود.

$$\vec{V}_I(X, Y, Z) = \vec{V}_W(X, Y, Z) + \vec{\omega} \times \vec{r}(X, Y, Z) \quad (13)$$

$$\vec{V}_W(X, Y, Z) = \vec{V}_S(1 - \vec{w}(X, Y, Z)) \quad (14)$$

(ب) شرایط سینماتیکی و دینامیکی در دنباله: هیچ پرش سرعت جریان روی سطح ورتكس دنباله وجود ندارد، اما پرش سرعت پتانسیل در این سطح وجود دارد و برابر سیرکیولاسیون در اطراف پره است. رابطه بین سرعت جریان و سرعت پتانسیل به صورت روابط (16,15) بیان می‌شود.

$$(\Delta\varphi)_{S_W} = \varphi^B - \varphi^F = \Gamma \quad (15)$$

$$\left(\Delta \frac{\partial \varphi}{\partial n} \right)_{S_W} = \left(\frac{\partial \varphi}{\partial n} \right)^B - \left(\frac{\partial \varphi}{\partial n} \right)^F = 0 \quad (16)$$

B و F سطوح پشت و جلوی ورتكس دنباله را نشان می‌دهند و Γ چرخش در اطراف پره است.

(ج) شرط کوتا در لبه فراز: این شرط از مهم‌ترین شروط برای اجسام جلو برند و یا بالابرند است. این شرط بیان می‌کند که سرعت سیال در لبه فرار ثابت، رابطه (17)، می‌ماند.

$$|\nabla \varphi|_{TE} < \infty \quad (17)$$

ثئوری شرط کوتای اذاعان دارد که سرعت در امتداد لبه انتهایی محدود باقی خواهد ماند. به عنوان یک فرم معادل دیگر می‌توان فهمید که فشار مساوی در سطح بالایی و پایینی لبه عقبی وجود دارد. این شرط کوتای فشار مساوی برای تعیین $\Delta\varphi$ مجهول قدرت دو قطبی برای سطح ویک دنباله ای به کار خواهد رفت. شرط کوتای فشار در محاسبات عددی می‌تواند به صورت رابطه (18) بیان شود.

$$\Delta p_i = p_{TE}^U(P_j) - p_{TE}^L(P_j) = 0, j = 1, 2, \dots, N_R \quad (18)$$

3-3- روش عددی

الگوریتم مراحل کلی برای پیاده‌سازی روش المان مرزی مطابق شکل 3 است. این روش عبارت است از:

(1) تولید شبکه بر پروانه و ویک دنباله‌ای

(2) تبدیل معادلات انتگرالی به معادلات جز به جز

(3) حل عددی انتگرال‌ها

(4) اعمال شرایط مرزی

(5) تشکیل سیستم معادلات و حل کمیت مورد نظر

مراحل بالا در قالب یک کد المان مرزی پیاده‌سازی شد.

4- روش معادلات متوضط‌گیری شده ناویر-استوکس

در روش معادلات متوضط‌گیری شده ناویر-استوکس یا رانز، معادلات حاکم بر

سیال در V غیرقابل تراکم، غیرویسکوز و غیرچرخشی است. V در معرض سرعت جریان ورودی یکنواخت \vec{V}_I در بالادست جریان قرار می‌گیرد. میدان جریان با این فرضیات حول جسم با پتانسیل سرعت مغشوش φ مشخص می‌شود که معادله لاپلاس را به صورت رابطه (8) ارضا می‌کند [16].

$$\nabla^2 \varphi = 0 \quad (8)$$

با استفاده از تئوری گرین پتانسیل سرعت مغشوش در هر نقطه میدان می‌تواند به صورت معادله انتگرالی بر حسب توزیع چشمی و دو قطبی نوشته شود؛ بنابراین برای نقطه میدان P پتانسیل سرعت به صورت رابطه (9) است.

$$4\pi E\varphi(P) = \iint_{S_B} \varphi(q) \frac{\partial}{\partial n_q} \frac{1}{R(p, q)} ds - \iint_{S_B} \frac{\partial \varphi(q)}{\partial n_q} \frac{1}{R(p, q)} ds + \iint_{S_W} \Delta\varphi(q) ds \quad (9)$$

با توجه به موقعیت نقطه P مقدار E به صورت رابطه (10) تعیین می‌شود.

$$E = \begin{cases} 0, & \text{داخل} \\ \frac{1}{2}, & S \text{ روی مرز} \\ 1, & S \text{ خارج} \end{cases} \quad (10)$$

پتانسیل سرعت مغشوش بر پروانه با توجه به روابط بالا به صورت رابطه (11) بیان می‌شود.

$$2\pi\varphi(P) = \iint_{S_B} \varphi(q) \frac{\partial}{\partial n_q} \frac{1}{R(p, q)} ds - \iint_{S_B} \frac{\partial \varphi(q)}{\partial n_q} \frac{1}{R(p, q)} ds + \iint_{S_W} \Delta\varphi(q) ds \quad (11)$$

این معادله بیانگر نمایش پتانسیل سرعت بر حسب توزیع دوقطبی با قدرت φ روی سطح جسم S_B ، توزیع قدرت چشمی $\partial\varphi/\partial n$ روی سطح جسم S_B و توزیع دوقطبی از قدرت $\Delta\varphi$ روی سطح دنباله S_W است. حل این مسئله مقدار مرزی شامل تعیین مقاومت‌های تکینه‌های قدرت¹ که نشان‌دهنده ویک دنباله‌ای پروانه و لبه فرار است به صورتی که معادله انتگرالی بالا را ارضا کند. توزیع پیوسته تکینه‌ها روی سطح پروانه و ویک دنباله‌ای روی المان‌های چهاروچی تقریب زده می‌شود. از آنجایی که قدرت‌های دوقطبی چشمدها با شرایط مرزی جنبشی توصیف می‌شود، تنها قدرت‌های دوقطبی مجهول است و باید تعیین شوند. با توجه به روابط بالا شکل مدل ویک دنباله‌ای باید پیش از حل معادلات مشخص باشد، بدین منظور نیاز است که شکل ویک حدس زده شود.

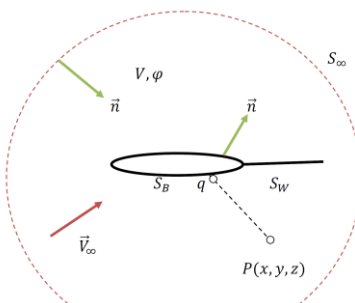


Fig. 2 The problem domain

شکل 2 میدان مساله

¹ Strength Singularities

که به صورت گستره‌های در مدل سازی توربوماشین‌ها به کار می‌رond می‌توان به مدل‌های $k-\omega$ اشاره کرد.

5- روش ترکیبی BEM/RANS

5-1- معادلات حاکم

همان‌طور که در بخش مقدمه بررسی شد مدل سازی کل سیستم رانش پاددار با اجزای چرخشی و غیرچرخشی با روش رانز نیازمند مدل سازی دقیق میدان حل، شبکه‌بندی با تعداد سلول‌های زیاد و زمان محاسباتی بالاست. برای رفع برخی از این مشکلات می‌توان اجزای چرخشی را با یکسری نیروهای معادل جایگزین کرد. در بیشتر روش‌های ترکیبی این نیروها با استفاده از یک حل‌گر جریان پتانسیل محاسبه می‌شود. در حقیقت ایده اصلی استفاده از روش ترکیبی پتانسیل/ویسکوز در تحلیل سیستم‌های رانش استفاده هم‌زمان مزایا این دو روش است، یعنی زمان حل کم و دقت مناسب روش‌های پتانسیل برای تحلیل اجزای چرخشی به تنها و دقت و توانایی روش‌های ویسکوز در تحلیل جریان در اطراف اجزای غیرچرخشی.

در روش ترکیبی BEM/RANS، جریان حول پروانه به وسیله روش المان مرزی محاسبه می‌شود، سپس از یک حل‌گر ویسکوز بر مبنای رانز برای تحلیل جریان حول پاد و استرات استفاده می‌شود. در این حالت اثر پروانه به وسیله یک توزیع پراکنده نیرو بیان می‌شود که به صورت نیروهای حجمی به سمت راست معادله مومنتوم اضافه می‌شود. نیروهای تراست و گشتاور پروانه به ترتیب به صورت توزیعی از سورس ترم‌های مومنتوم محوری و مماسی در معادلات حاکم بر جریان وارد شده و سبب شبیه‌سازی شتاب‌های محوری و دورانی ناشی از وجود پروانه می‌شوند. در این حالت معادلات حاکم به صورت روابط (25,24) است.

$$\frac{\partial \rho}{\partial t} + \frac{\partial}{\partial x_i} (\rho u_i) = 0 \quad (24)$$

$$\begin{aligned} \frac{\partial}{\partial t} (\rho u_i) + \frac{\partial}{\partial x_j} (\rho u_i u_j) = & - \frac{\partial p}{\partial x_i} + \frac{\partial}{\partial x_j} \left| \mu \left(\frac{\partial u_i}{\partial x_j} + \frac{\partial u_j}{\partial x_i} - \frac{2}{3} \delta_{ij} \frac{\partial u_l}{\partial x_l} \right) \right| \\ & + \frac{\partial}{\partial x_j} (-\rho \bar{u}_i \bar{u}_j) + F_i \end{aligned} \quad (25)$$

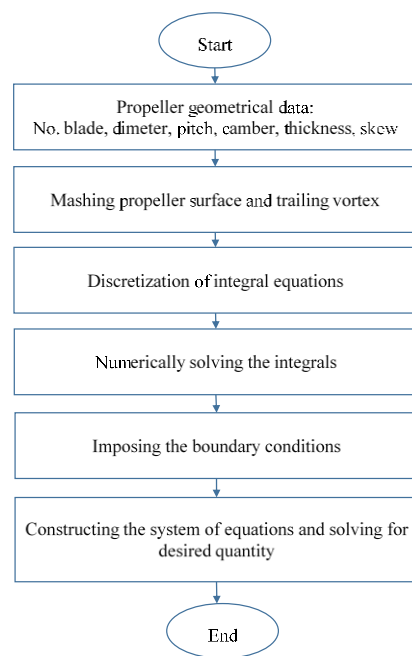
F_i ترم نیروهای حجمی است.

در حالت کلی و با یک توزیع یکنواخت مطابق روابط (27,26) ترم‌های مومنتوم با تقسیم تراست و گشتاور پروانه بر حجم پروانه مدل سازی می‌شوند.

$$F_{b_x} = \frac{T}{V} \quad (26)$$

$$F_{b_\theta} = \frac{Q}{rV} \quad (27)$$

که F_{b_x} و F_{b_θ} به ترتیب ترم مومنتوم محوری و مومنتوم مماسی است. در روش ترکیبی RANS/BEM با استفاده از روش المان مرزی توزیع فشار بر سطوح پروانه محاسبه می‌شود که این توزیع به صورت نیروهای حجمی بر سلول‌های مورد نظر در روش رانز وارد می‌شوند. این نیروهای حجمی به صورت سه مؤلفه f_x , f_y و f_z درست مودلت رانز اضافه شده و سبب مدل سازی اثر پروانه در جریان مساله می‌شوند. از آن جایی که این توزیع فشار بر سطوح رخ و پشت پروانه ایجاد شده، جهت مدل سازی این توزیع فشار می‌توان از دو روش متفاوت استفاده کرد. در روش نخست که روشی تقریبی است با استفاده از توزیع اختلاف فشار برآیند بر سطوح رخ و پشت پروانه، یک توزیع نیروی برآیند به صورت تقریبی بر خط کمبر پره محاسبه می‌شود. در این حالت رابطه (28) بین فشار و نیروهای حجمی برقرار است.



شکل 3 الگوریتم روش المان مرزی

جریان برای بقای جرم و مومنتوم به ترتیب عبارت از روابط (19,20) است.

$$\frac{\partial \rho}{\partial t} + \nabla \cdot (\rho \vec{v}) = 0 \quad (19)$$

$$\frac{\partial}{\partial t} (\rho \vec{v}) + \nabla \cdot (\rho \vec{v} \vec{v}) = -\nabla p + \nabla \cdot (\bar{\tau}) \quad (20)$$

\vec{v} بردار سرعت، p فشار استاتیک و $\bar{\tau}$ تانسور تنش است که از رابطه به دست می‌آید.

$$\bar{\tau} = \mu \left| (\nabla \vec{v} + \nabla \vec{v}^T) - \frac{2}{3} \nabla \cdot \vec{v} I \right| \quad (21)$$

در این رابطه، μ ویسکوئیته و I تانسور واحد است. با استفاده از روش متوضط‌گیری، معادلات حاکم به صورت روابط (23,22) قابل بیان خواهد بود.

$$\frac{\partial \rho}{\partial t} + \frac{\partial}{\partial x_i} (\rho u_i) = 0 \quad (22)$$

$$\begin{aligned} \frac{\partial}{\partial t} (\rho u_i) + \frac{\partial}{\partial x_j} (\rho u_i u_j) = & - \frac{\partial p}{\partial x_i} + \frac{\partial}{\partial x_j} \left| \mu \left(\frac{\partial u_i}{\partial x_j} + \frac{\partial u_j}{\partial x_i} - \frac{2}{3} \delta_{ij} \frac{\partial u_l}{\partial x_l} \right) \right| \\ & + \frac{\partial}{\partial x_j} (-\rho \bar{u}_i \bar{u}_j) \end{aligned} \quad (23)$$

در آن u سرعت متوضط و \bar{u} -تانسور تنش رینولدز؛ مدل سازی تانسور تنش به نسبت مشکل است، زیرا برای تعیین آن نیاز به اطلاعات دقیقی در خصوص ساختار پدیده توربولنس در سیال داریم که غالباً در دسترس نیست؛ بنابراین برای تعیین اندازه تنش‌های رینولدز باید یکی از مدل‌های توربولانسی موجود استفاده کرد. از جمله مدل‌های معروف توربولانسی می‌توان به مدل‌های صفر معادله‌ای، یک معادله‌ای و دو معادله‌ای اشاره کرد. در مدل صفر معادله‌ای تنها از معادلات جبری استفاده می‌شود در حالی که در مدل‌های یک معادله‌ای و دو معادله‌ای به ترتیب از یک و دو معادله انتقال استفاده می‌شود. انتخاب مدل توربولانسی به فیزیک جریان مسئله مورد بررسی، میزان دقت مورد نیاز، امکانات محاسباتی و میزان زمان در اختیار برای رسیدن به پاسخ منطقی وابسته است. از مدل‌های توربولانسی

نیازی نقاط شبکه RANS باشند. با استفاده از حل جریان حول پاد و استرات به روش RANS می‌توان مقدار سرعت کل را در این نقاط، در روش المان مرژی نیز می‌توان مقادیر سرعت‌های القایی را محاسبه کرد. با کاهش این سرعت‌ها از مقادیر سرعت کل مقدار ویک مؤثر بدست می‌آید. این سرعت مؤثر به عنوان شرایط ورودی پروانه در روش المان مرژی قرار داده می‌شوند.

5-3-الگوریتم روش ترکیبی BEM/RANS

با استفاده از روش پیشنهادی برای کوپل نتایج در در روش ترکیبی BEM/RANS، می‌توان یک تحلیل هیدرودینامیکی کامل از سیستم رانش پادار با در نظر گرفتن تمامی اجزای آن و اندرکش‌های بین آن‌ها انجام داد. الگوریتم کلی برای پیاده‌سازی این تحلیل به روش ترکیبی BEM/RANS مطابق شکل 4 است. مراحل روش ترکیبی BEM/RANS به شرح زیر است.

- (1) تولید میدان حل سه بعدی در اطراف پاد و استرات
- (2) تحلیل جریان در اطراف پاد و استرات به روش RANS بدون در نظر گرفتن اثر پروانه (صرف قرار دادن نیروهای حجمی)
- (3) محاسبه ویک کل (T) در صفحه پروانه و فرض کردن مقدار آن به عنوان ویک مؤثر پروانه (E)
- (4) اعمال ویک مؤثر به عنوان ورودی در روش BEM
- (5) محاسبه توزیع فشار روی سطوح پروانه و بردار نیرو در هر پانل
- (6) تبدیل نیرو هر پروانه به نیروهای حجمی
- (7) اعمال نیرو حجمی در بلوک جایگزین پروانه با استفاده از روش میان‌یابی
- (8) تحلیل سیستم پاد و استرات به روش RANS
- (9) محاسبه سرعت ویک کل محاسبه شده به وسیله روش RANS در صفحه پروانه و کم کردن آن از سرعت‌های القایی محاسبه شده (I) به وسیله روش (T-I) BEM
- (10) کنترل همگرایی با مقایسه ضرایب KT و KQ محاسبه شده با مقادیر مرحله پیشین
- (11) جایگزین کردن (E) با (T-I) و اعمال آن به عنوان سرعت ورودی پروانه

مراحل 11-4 تا هنگامی که حل همگرا شود ادامه می‌یابد.

در بخش ویسکوز جهت حل معادلات حاکم از نرم‌افزار ANSYS Fluent 14.5 که یک حل‌گر حجم محدود بر پایه معادلات RANS استفاده شده است. روش تفکیکی راه حل انتخاب شده برای حل معادلات بقای جرم و مومنتوم است که در آن هر یک از معادلات به صورت جداگانه حل می‌شوند. این روش نسبت به روش حل پیوسته نیازمند زمان و حافظه کمتری در هنگام حل است. خطی‌سازی معادلات نیز به روش ضمنی انجام گرفته است. جهت گستینه‌سازی معادلات حاکم در میدان حل از روش آب‌ویند² مرتبه دوم با دقت مناسب استفاده می‌شود. میان‌یابی فشار نیز به صورت استاندارد انجام گرفته است، همچنین برای حل همزمان معادلات سرعت و فشار از الگوریتم سیمپل³ استفاده می‌شود. برای شبیه‌سازی جریان توربولنس مدل SST $k-\omega$ به کار گرفته شد.

6-مدل‌سازی و روش عددی

در این قسمت با استفاده از روش ترکیبی توسعه داده شده بخش پیشین به

$$V\vec{F}_b = \Delta PA\vec{n} \quad (28)$$

در آن V حجم سلول شبکه رانز، A مساحت سطح متناظر بر خط کمبر پروانه، ΔP اختلاف فشار برآیند در راستای خط کمبر پروانه، \vec{n} بردار عمود بر سطح خط کمبر و \vec{F}_b بردار نیروی حجمی سه بعدی است. در روش دوم که یک روش دقیق‌تر و در این تحقیق از آن استفاده شده، با بهره از روش المان مرژی برای هر یک از پانل‌های سطوح رخ و پشت پروانه به صورت جداگانه مقدار فشار محاسبه شده است و با تبدیل آن به نیرو بردار نیرو در مرکز پانل محاسبه می‌شود. این بردار نیرو با استفاده از روشی که در بخش‌های پیشین توزیع خواهد شد بر سلول‌های شبکه رانز توزیع می‌شود. در این حالت نیز رابطه بین فشار و نیروهای حجمی به صورت رابطه (29) است.

$$V\vec{F}_b = PA\vec{n} \quad (29)$$

5-2-روش انتقال و کوپل نتایج بین دو روش عددی

از دیدگاه عملی این روش ترکیبی در صورتی یک راه حل مناسب و راضی‌کننده خواهد بود که همان‌طور که اثر پروانه در تحلیل اجزای غیرچرخشی در روش ویسکوز مدل شده است، اثرات اجزای غیرچرخشی و ضرایب ویسکوز در نیروهای پروانه نیز در نظر گرفته شود؛ بنابراین برای برقراری کوپل دو روش باید دو مرحله انتقال نتایج داشته باشیم. در ادامه این بخش موضوع روش انتقال نتایج بین دو حل‌گر پتانسیل و ویسکوز شرح داده شده است.

5-2-1-کوپل نتایج از BEM به RANS

کوپل نتایج از روش BEM به روش رانز شامل انتقال نیروهای محاسبه شده بر پروانه در روش BEM به روش RANS و تبدیل آن‌ها به نیروهای حجمی و افزودن در معادلات حاکم به صورت ترم‌های مومنتوم است. در روش المان مرژی به ازای هر پانل مقدار فشار در مرکز آن برای کوپل کردن نتایج بین این دو روش محاسبه شده و بردار نیرو برای هر پانل محاسبه می‌شود. این روش سبب می‌شود برای هر یک از پانل‌ها در سطوح پشت و رخ پروانه بردارهای نیروی جداگانه تعریف شود که این موضوع سبب دقیق‌تر شدن مدل‌سازی در روش ترکیبی می‌شود. این بردارهای نیرو به صورت نیروهای مدل شده در سلول‌های شبکه متناظر با هر پانل توزیع می‌شود. جهت ترکیب حجمی بر سلول‌های شبکه متناظر با هر پانل جستجوی سلول‌ها¹ استفاده شده است. در این روش هر پانل به نزدیک‌ترین سلول متناظر با آن در شبکه RANS و سلول‌های مجاور با آن مرتبط می‌شود. با توجه به این که در شبکه RANS هندسه پروانه مدل نمی‌شود می‌توان از یک شبکه ساده شطرنجی با فواصل یکسان در محدوده قرار گیری پروانه استفاده کرد.

5-2-2-کوپل نتایج از RANS به BEM

کوپل نتایج از روش RANS به روش BEM شامل انتقال ویک سرعت مؤثر جریان در صفحه پروانه و انتقال آن به روش BEM به عنوان جریان ورودی به پروانه است. این پرسوه شامل محاسبه مقدار سرعت کل در صفحه پروانه در روش RANS و کم نمودن مقدار سرعت‌های القایی پروانه محاسبه شده از آن است. برای انتقال سرعت در بین این دو روش در مرحله نخست یک صفحه فرضی دایروی به قطر پروانه در فاصله حدود 0.1D تا 0.2D از پروانه در بالادست آن با عنوان صفحه انتقال تعریف شده است. در این صفحه انتقال یکسری نقاط مینا در شعاع‌ها و زوایای مختلف تعریف شده‌اند. این نقاط مینا

¹ Cell search algorithm

² Upwind
³ SIMPLE

جدول 2 مشخصات ابعادی پاد و استرات

Table 2 Main dimensions of pod and strut

مقادیر	پارامتر
139	حداکثر قطر پاد (میلی‌متر)
410	طول پاد (میلی‌متر)
300	ارتفاع استرات (میلی‌متر)
225	طول کورد استرات (میلی‌متر)
60	عرض استرات (میلی‌متر)
100	فاحصه صفحه پروانه تا استرات (میلی‌متر)
85	طول مخروطی ابتدایی پاد (میلی‌متر)
15	زاویه مخروطی ابتدایی پاد (درجه)
110	طول مخروطی انتهایی پاد (میلی‌متر)
25	زاویه مخروطی انتهایی پاد (درجه)

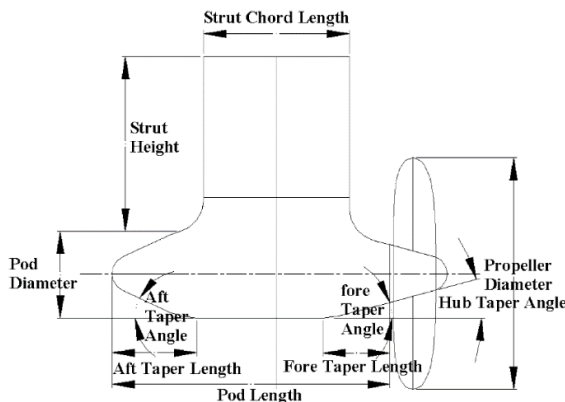


Fig. 5 Podded drive view

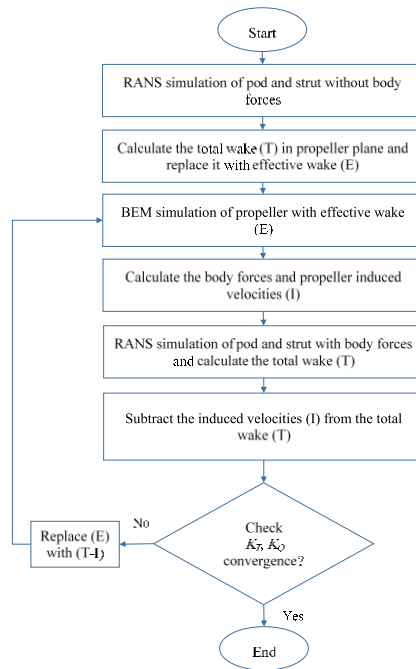
شکل 5 نمایی از سیستم رانش پاددار

پانل بندی شامل سطح رخ و پشت پروانه و یک دنبالهای است. یک دنبالهای نیز دارای طولی برابر با دو گام پروانه، تعداد پانل‌های یک دنبالهای هم 2280 عدد است (شکل 6).

پروانه با یکسری از بلوک‌های استوانه‌ای در میدان حل برای استفاده از روش ترکیبی در بخش ویسکوز جایگزین می‌گردد. میدان حل حول سیستم رانش پاددار شامل یک ناحیه کلی استوانه‌ای شکل ثابت است. بلوک جایگزین پروانه به صورت یک بلوک استوانه‌ای با قطری برابر با قطر پروانه و عرض پروانه به صورت یک بلوک استوانه‌ای با قطری برابر با $\Delta x = 0.25D$ مدل شده است. طول قسمت ورودی و خروجی میدان تا بلوک پروانه به ترتیب $5L_{POD}$ و $2.5L_{POD}$ ، قطر استوانه نیز $6L_{POD}$ فرض شده است. شکل 7 ابعاد میدان حل برای سیستم پاددار را نشان می‌دهد. مطابق این شکل‌ها میدان حل به ایازده بلوک تقسیم بندی شده است.

در این بررسی از شبکه سازمان یافته در بلوک پروانه و شبکه بی‌سازمان در مابقی بلوک‌ها استفاده شده است. کل میدان نیز با استفاده از المان‌های چهار وجهی شبکه‌بندی شده است. برای بررسی اثر تعداد المان‌های شبکه بر پاسخ‌های مساله، یک تحلیل استقلال از شبکه بر پاد صورت پذیرفته است. برای شش شبکه با اندازه‌های سلول‌های متفاوت مطابق جدول 3 مورد آزمون و ارزیابی قرار گرفت. نتایج این بررسی در شکل 8 ارائه شده است. این نتایج شامل درصد خطای نسبی برای ضربی نیروهای محوری در سرعت پیشروی $J=0.2$ در مقایسه با نتایج تجربی است [20].

براساس نتایج بدست‌آمده همزمان با افزایش تعداد سلول‌های شبکه مقدار درصد خطای نسبی کاهش یافته است. همان‌طور که مشاهده می‌شود مقادیر خطای در حالت‌های 4 و 5 تقریباً ثابت مانده و با افزایش تعداد سلول‌ها



شکل 4 الگوریتم روش ترکیبی BEM/RANS

تحلیل یک سیستم رانش پاددار پرداخته شود. مدل سیستم رانش پاددار مورد بررسی مطابق سیستم رانش استفاده شده توسط اسلام و همکاران است [19]. پروانه این سیستم رانش از خانواده سری DTMB انتخاب و دارای مقطع 66 NACA اصلاح شده است. این پروانه چهارپرهای بدون زوایای ریک و اسکیو با مشخصات ابعادی ارائه شده در جدول 1 است.

ابعاد پاد و استرات مورد استفاده به گونه‌ای انتخاب شده که متوجه از ابعاد سیستم‌های رانش پاددار مورد استفاده در دنیا باشد. مشخصات ابعادی پاد و استرات این مدل در جدول 2 ارائه شده است. شکل 5 نیز نمایی از این مدل سیستم رانش پاددار را نشان می‌دهد.

در ادامه این بخش مادرت به مدل‌سازی و تشکیل میدان حل پرداخته شده، این شبکه‌بندی در دو بخش روش المان مرزی و روش RANS شده، این شبکه‌بندی جدأگانه صورت پذیرفته است.

در روش المان مرزی پروانه به همراه یک دنبالهای پانل‌بندی شده است. در نخستین مرحله شبکه‌بندی روی سطوح رخ و پشت پروانه صورت می‌پذیرد. هر یک از پره‌های پروانه شبکه به 19 پانل در جهت شعاعی و 19 پانل در جهت طول کورد پره تقسیم‌بندی می‌شود. تعداد کل پانل‌های پروانه 2888 است. توبی پروانه نیز با تعداد 475 پانل شبکه‌بندی شده است. این

جدول 1 ابعاد اصلی مدل پروانه

Table 1 Main dimensions of propeller model

مقادیر	پارامتر
NACA 66	نوع مقطع پره
4	تعداد پره‌های پروانه
270	قطر پروانه (میلی‌متر)
0.26	نسبت گام به قطر پروانه
1	نسبت توبی پروانه
0.6	نسبت سطح توسعه یافته پروانه
Zero	زاویه ریک (درجه)
Zero	زاویه اسکیو (درجه)

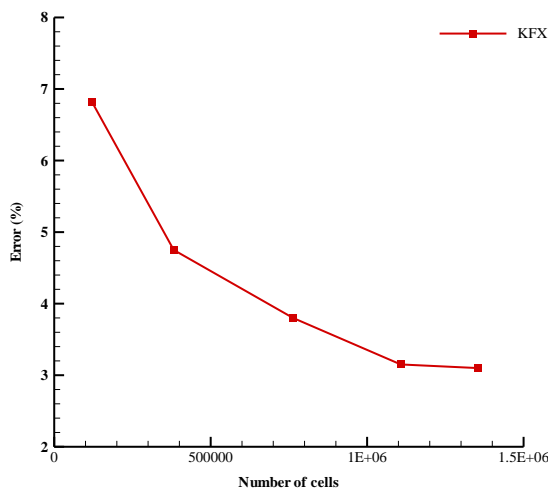


Fig. 8 Variation of error value of axial force coefficients with increasing the number of cells at $J=0.2$

شکل 8 نمودار تغییرات مقادیر خطای ضربی نیروی محوری با افزایش تعداد سلول‌ها در سرعت پیشروی $J=0.2$

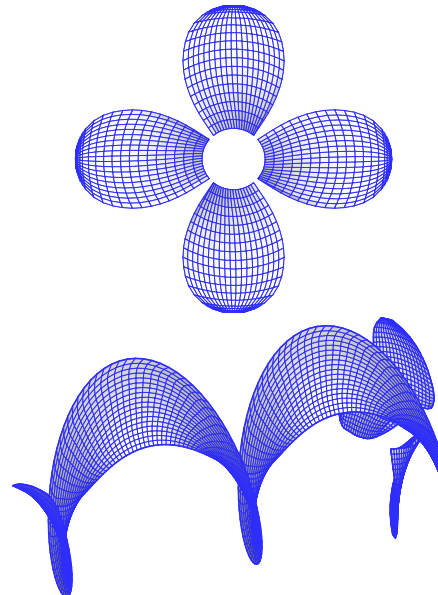


Fig. 6 Podded drive view

شکل 6 توزیع پانل‌های شبکه روی سطوح پروانه و ویک دنباله‌ای

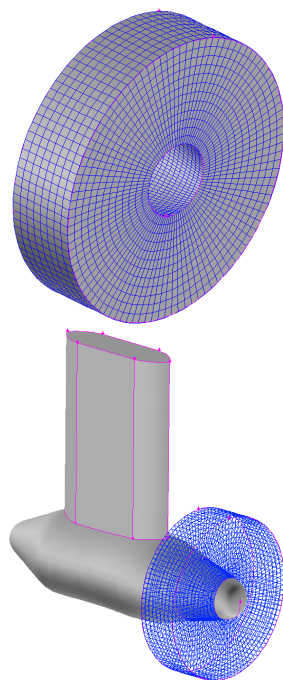


Fig. 9 Cylindrical block instead of Propeller in RANS/BEM method
RANS/BEM

شکل 9 جایگزینی پروانه با بلوک استوانه‌ای در روش RANS/BEM

جدول 3 مشخصات ابعادی پاد و استرات

Table 3 Element number of grid dependency cases

تعداد سلول‌ها	حالت
120,157	1
381,981	2
763,152	3
1,107,495	4
1,353,291	5

عرض $\Delta x = 0.25D$ مدل شده است. این ابعاد براساس نتایج بدست آمده در کارهای عددی در خصوص تحلیل هیدرودینامیکی سیستم رانش پاددار انتخاب [22,21]، مشخصات میدان حل در شکل 10 نشان، میدان حل میدان

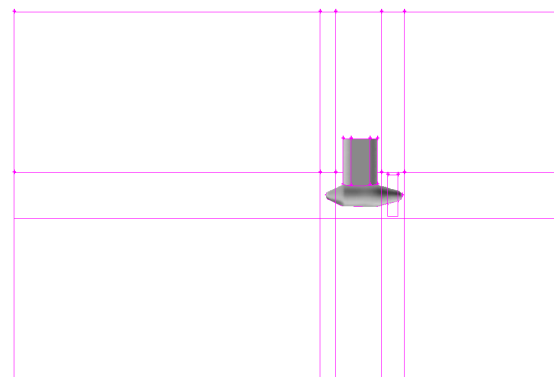


Fig. 7 Field Domain around Podded drive in RANS/BEM method

شکل 7 مدل‌سازی میدان حل حول سیستم پاددار در روش RANS/BEM

کاهش نیافته است؛ بنابراین حالت 4 به عنوان مدل نهایی جهت ادامه محاسبات انتخاب شده است.

شرایط مرزی مساله به صورت شرط جریان ورودی برای ورودی ناحیه ساکن، فشار خروجی برای خروجی ناحیه ساکن، شرط مرزی دیواره برای سطوح پاد و استرات انتخاب شده است. تنظیمات حل مطابق حالت تحلیل پاد و استرات انتخاب و از مدل $k-\omega$ SST برای شبیه‌سازی جریان آشفته استفاده شد. شکل 9 بلوک سیلندری جایگزین شده با پروانه را نشان می‌دهد.

شکل 9 بلوک سیلندری جایگزین شده با پروانه را نشان می‌دهد.

7- نتایج عددی

7-1- معتبرسازی روش مدل‌سازی اثر پروانه

در مرحله نخست با هدف بررسی دقیقی دقت روش ترکیبی RANS/BEM و معتبرسازی نتایج آن با استفاده از این روش به تحلیل هیدرودینامیکی یک پروانه به تنهایی پرداخته شده است. در این مطالعه میدان حل در روش RANS تنها شامل یک ناحیه استوانه‌ای شکل ثابت به همراه یک بلوک جایگزین پروانه است. بر این اساس طول قسمت ورودی $4D$ و طول قسمت خروجی $6D$ در نظر گرفته، قطر استوانه نیز $4D$ فرض شده است. بلوک جایگزین پروانه به صورت یک بلوک استوانه‌ای با قطری برابر با قطر پروانه و

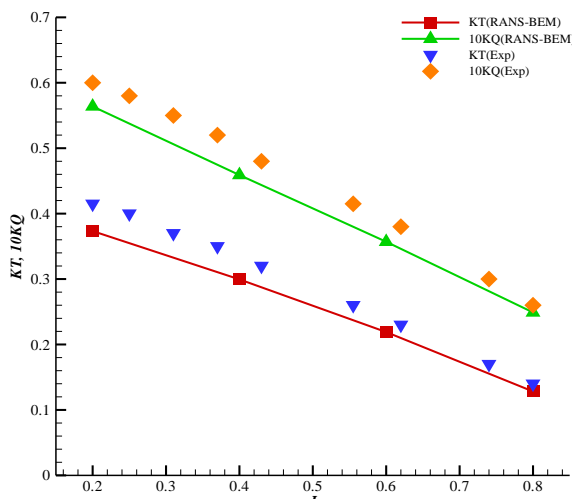


Fig. 11 Computational and experimental results of thrust and torque coefficient of single propeller

شکل 11 مقایسه نتایج عددی و تجربی ضرایب تراست و گشتاور برای پروانه تنها

جدول 4 درصد خطای نسبی روش ترکیبی RANS/BEM برای پروانه تنها

Table 4 Relative error of RANS/BEM method for single propeller

J	K _T	K _O
0.2	-3.85	-4.18
0.4	-4.14	-5.03
0.6	-4.56	-5.62
0.8	-5.39	-6.21

کرد که این روش ترکیبی یک حل با دقت میانگین در مقایسه با دو روش بالاست. هر چند دقت این روش نسبت به روش المان مرزی بپیوود یافته، اما دقت آن از روش ویسکوز کامل کمتر است. کاهش زمان مدل‌سازی و حل مهم‌ترین مزیت این روش نسبت به روش ویسکوز که در جدول 5 به آن اشاره شده است. این جدول شامل زمان‌های لازم برای ایجاد شبکه، تنظیمات شرایط فیزیکی مساله و زمان حل نهایی است که برای تحلیل پروانه به روش ترکیبی RANS/BEM و روش RANS [13] نشان داده شده است. همان‌طور که مشاهده می‌شود روش ترکیبی نیازمند زمان محاسباتی کمتری نسبت به روش RANS در بخش‌های مدل‌سازی شبکه و حل نهایی است.

در ادامه برای درک بهتری از این روش ترکیبی و نشان دادن اثر اعمال نیروهای پروانه به صورت حجمی در روش RANS میدان سرعت در میدان پایین دست محل فرضی پروانه مورد مطالعه قرار گرفته است. توزیع نسبت سرعت‌های محوری و مماسی در صفحه $X/D=0.25$ در پایین دست پروانه که به صورت متوسط‌گیری شده در راستای شعاعی پروانه محاسبه شده در شکل‌های 13,12 ارائه و این نتایج به روش حل RANS [13] با نتایج به دست آمده مقایسه شده است.

همان‌طور که مشاهده می‌شود هم‌خوانی تقریبی بین نتایج روش ترکیبی RANS/BEM با نتایج RANS برقرار است. روش RANS با دقت مناسبی سرعت‌های محوری و مماسی را در پایین دست جریان پیش‌بینی کرده است. دلیل اختلاف موجود بین نتایج نمودارهای سرعت در دو حالت

جدول 5 زمان محاسباتی روش ترکیبی RANS و RANS/BEM برای تحلیل پروانه

Table 5 Computational time for RANS and RANS/BEM method for single propeller analysis

روش حل	مشبک (ساعت)	زمان اجرا (ساعت)	فیزیک (ساعت)	زمان اجرا (ساعت)
RANS	10	5	1	
RANS/BEM	3	1	1	

حل مطابق شکل به شش بلوک تقسیم‌بندی شده است.

در این بررسی نیز از شبکه سازمان‌یافته در بلوک پروانه و شبکه بی‌سازمان در مابقی بلوک‌ها استفاده، کل میدان نیز با استفاده از المان‌های چهار وجهی شبکه‌بندی شده و تعداد سلول‌ها میدان در این حالت در حدود 300,000 است. شرایط مرزی مساله به صورت شرط جریان ورودی برای ورودی ناحیه ساکن، فشار خروجی برای خروجی ناحیه ساکن انتخاب شده است. تطمیعات حل مطابق حالت تحلیل پروانه تنها انتخاب و از مدل $k-\omega$ SST برای شبیه‌سازی جریان آشفته است.

با استفاده از این مدل شبیه‌سازی‌ها جریان حول پروانه تنها به روش ترکیبی در سرعت‌های پیشروی $J=0.2, 0.4, 0.6, 0.8$ صورت پذیرفت. در این حل ترکیبی پروانه، ابتدا پروانه به روش المان مرزی تحلیل شده است، سپس توزیع فشار روی سطوح پروانه طبق الگوریتم توضیح داده شده در بخش 3-5 به نیروهای حجمی تبدیل و در شبکه مربوطه نشان و در شکل 10 اعمال شده است.

در ادامه شکل بالا با اثر نیروهای حجمی به روش RANS حل شده و میدان سرعت به دست می‌آید. میدان سرعت در صفحه فرضی قرار گیری پروانه محاسبه شده و به عنوان مقادیر سرعت ورودی به روش المان مرزی اعمال می‌شود. این روند حل ترکیبی و سیکل انتقال نتایج براساس الگوریتم بخش 5-3 تا همگرایی حل ادامه می‌یابد. معیار همگرایی و معتربرسازی روش در این قسمت ضرایب تراست و گشتاور پروانه است. این مقادیر در شکل 11 به صورت نمودار نشان داده و با مقادیر تجربی مقایسه، همچنین خطای نسبی بین نتایج روش ترکیبی با مقادیر تجربی در جدول 4 بیان شده است. همان‌طور که مشاهده شد تطابق مناسبی میان نتایج برقرار و روش ترکیبی با دقت قابل پذیرشی مقادیر تراست و گشتاور پروانه را پیش‌بینی کرده است، همچنین درصد بیشینه خطای بین نتایج به دست آمده در حدود 6% است. هر چند خطای ضرایب تراست پروانه بیش از ضرایب گشتاور آن است. در هر ضریب پیشروی مقدار درصد خطای ضریب تراست پروانه بیش از ضرایب گشتاور آن و این موضوع در ضرایب پیشروی بالا مشهودتر است. در اجسام برآ¹ مانند پروانه اثر ویسکوزیته بر تراست کمتر است، در حالیکه تأثیرگذاری زیادی بر گشتاور دارد. در نتیجه دقت پیش‌بینی ضرایب گشتاور وابسته به پیش‌بینی بهتر نیروی درگ بر پره‌های پروانه است.

با بررسی کلی میان نتایج روش ترکیبی RANS/BEM برای یک پروانه تنها با نتایج حل ویسکوز [13] و روش المان مرزی [23] می‌توان استدلال

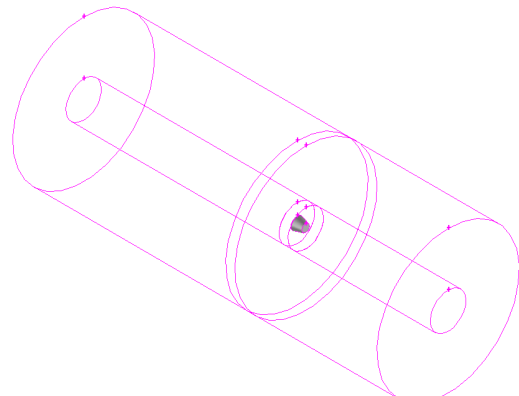


Fig. 10 Field Domain around single propeller in RANS/BEM method

شکل 10 مدل‌سازی میدان حل حول پروانه در روش RANS/BEM

¹ Lifting bodies

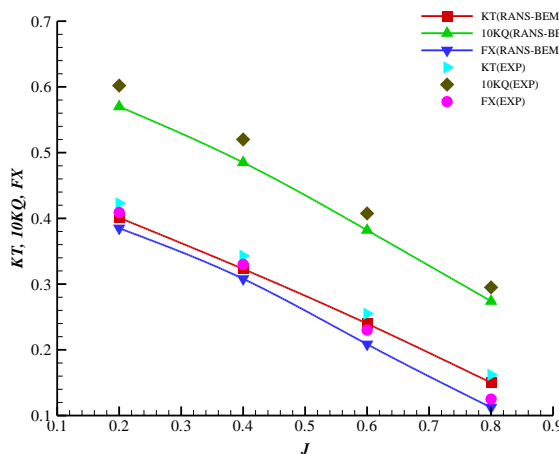


Fig. 14 Computational and experimental results of thrust, torque and axial force coefficient in straight condition.

شکل ۱۴ مقایسه نتایج عددی و تجربی ضرایب تراست و گشتاور و نیروی محوری

جدول ۶ درصد خطای نسبی روش ترکیبی RANS/BEM

Table 6 Relative error of RANS/BEM method

J	K_T	K_Q	K_{FX}
0.2	-5.20	-5.32	-5.87
0.4	-5.83	-6.73	-6.67
0.6	-5.96	-6.26	-9.35
0.8	-7.41	-7.12	-10.16
Ave.	-6.10	-6.36	-8.01

پادمشهودتر است. به صورت کلی درصد خطای نسبی برای ضرایب نیروی محوری در سرعت‌های پیش روی بیشتر از ضرایب تراست و گشتاور است. دلیل اصلی این افزایش اختلاف در نتایج را می‌توان اثرات ویسکوزیته و اندرکنش جریان بین اجزای سیستم رانش پاددار به ویژه در سرعت‌های بالا دانست. ویسکوزیته نقش تعیین کننده‌ای در نیروهای محوری و جانبی ناشی از پاد و استرات دارد؛ بنابراین تخمین دقیق از اثرات ویسکوزیته برای پیش‌بینی نیروهای محوری و جانبی ضروری است.
توزیع نسبی سرعت‌های محوری و مماسی در سرعت پیش روی $J=0.2$ و $X/D=0.25$ در صفحه $Z/D=0.25$ در پایین دست پروانه که به صورت متوضط گیری شده در راستای شعاعی پروانه محاسبه شده در شکل‌های 16, 15 برای سیستم رانش پاددار ارائه شده است. این نتایج در روش حل RANS با نتایج به دست آمده مقایسه شده و همخوانی تقریبی بین نتایج روش ترکیبی RANS/BEM با نتایج RANS برقرار است.

از آن جایی که نتایج تجربی برای این سرعت‌ها وجود ندارد، مبنای مشخصی برای مقایسه نتایج سرعت‌های پایین دست جریان در روش ترکیبی و روش RANS وجود ندارد؛ بنابراین نمی‌توان درصد خطای این دو روش را نسبت به حالت تجربی بیان کرد و بهترین راه برای مقایسه و معتبرسازی نتایج مقایسه و بررسی ضرایب تراست و گشتاور پروانه که در بالا توضیح داده شده است. اثر ورتکس ناشی از توبی پروانه و لبه‌های پره در نتایج روش ترکیبی مشهود است. علاوه‌بر این موضوع پاد و استرات در سیستم رانش پاددار در پایین دست جریان قرار دارند و در نتیجه معرض جریان غیریکنواخت خروجی از پروانه قرار می‌گیرند. وجود پروانه سبب ایجاد شتاب در جریان پایین دست می‌شود. سرعت‌های القایی پروانه جریان یکنواخت ورودی به پاد و استرات را تغییر می‌دهند که این موضوع سبب توزیع فشار نامتقارن بر پاد و استرات می‌شود. جریان خروجی از پروانه در سرعت‌های بالا

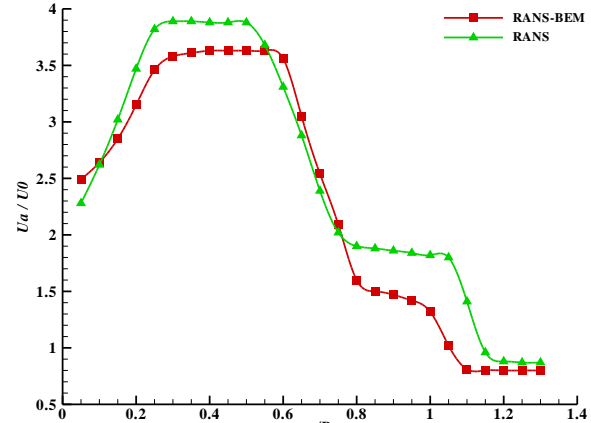


Fig. 12 Axial velocity ratio in $X/D=0.25$, $J=0.25$

شکل ۱۲ مقایسه نسبت سرعت محوری در $J=0.2$ و $X/D=0.25$

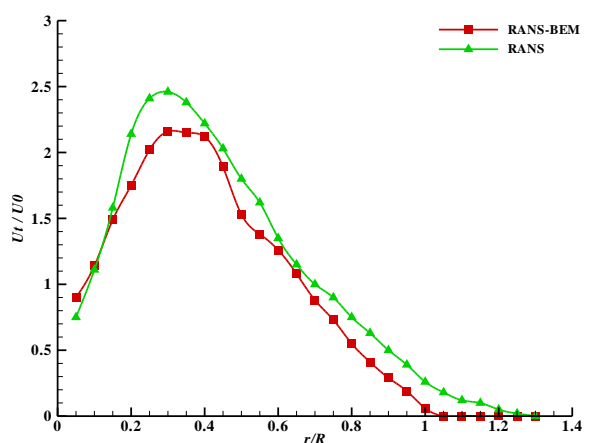


Fig. 13 Tangential velocity ratio in $X/D=0.25$, $J=0.25$

شکل ۱۳ مقایسه نسبت سرعت مماسی در $J=0.2$ و $X/D=0.25$

ترکیبی و RANS را می‌توان به دلیل عدم مدل‌سازی پروانه در بخش ویسکوز روش ترکیبی دانست. این موضوع به خصوص در محدوده $r/R=0.2\sim0.3$ و $r/R=1.0\sim1.2$ محل قرارگرفته است. این شبیه‌سازی‌ها در محدوده سرعت‌های پیش‌بینی ورتکس‌های پروانه بیشتر مشهود است. در این قسمت‌ها به علت عدم اختلاف بیشتری بین نتایج روش ترکیبی با روش RANS وجود دارد.

7-2- تحلیل کل سیستم رانش پاددار در جریان مستقیم

در این بخش تحلیل هیدرودینامیکی کل سیستم رانش پاددار کشنی در جریان مستقیم با استفاده از روش پیشنهادی RANS/BEM مورد مطالعه و بررسی قرار گرفته است. این شبیه‌سازی‌ها در محدوده سرعت‌های پیش‌بینی 0.8-0.2 انجام شده است. شکل 14 روند تغییرات ضرایب تراست، گشتاور و نیروی محوری سیستم پاد کشنی و فشاری را در مقایسه با نتایج تجربی در سرعت‌های مختلف نشان می‌دهند، همچنین درصد خطای نسبی این روش ترکیبی جدول 6 ارائه شده است.

همان‌طور که مشاهده می‌شود متوضط خطای نسبی برای ضرایب تراست و گشتاور در سیستم پاد کشنی در محدوده 6% است، این مقادیر خطای نیروی محوری پاد 8% است. براساس نتایج به دست آمده می‌توان دریافت که روش پیشنهادی به درستی توانایی پیش‌بینی عملکرد سیستم پاددار را دارد. این موضوع در خصوص ضرایب تراست پروانه و نیروی محوری سیستم

جدول 7: زمان محاسباتی روش‌های عددی برای تحلیل سیستم راش پاددار

Table 7 Computational time of numerical methods for podded drive analysis			
	زمان اجرا (ساعت)	فیزیک (ساعت)	مشیندی (ساعت)
8	1	15	RANS
50	1	20	URANS
4	1	5	RANS/BEM

محاسباتی بیشتری نسبت به روش ترکیبی RANS/BEM است. روش ترکیبی RANS/BEM یک راه حل بهینه بوده که دارای دقت مناسب بوده و از زمان حل کمتری نسبت به این دو روش برخوردار است. این روش ترکیبی را می‌توان در مساله‌های مختلف با هندسه‌های متفاوت استفاده کرد. کاربرد اصلی این روش را می‌توان تحلیل جریان حول اجسام با اجزای غیرچرخشی و چرخشی در کنار یکدیگر دانست. تحلیل مقاومت بدن کشتی‌ها و زیردریایی با حضور پروانه و سکان‌های افقی و عمودی، سیستم راش پروانه‌های نازل دار، تحلیل عملکرد ربات‌های زیرآبی و تحلیل توربین‌های جریان دریایی را می‌توان از مهم‌ترین مسائل دریایی مشابه دانست.

8- جمع‌بندی و نتیجه‌گیری

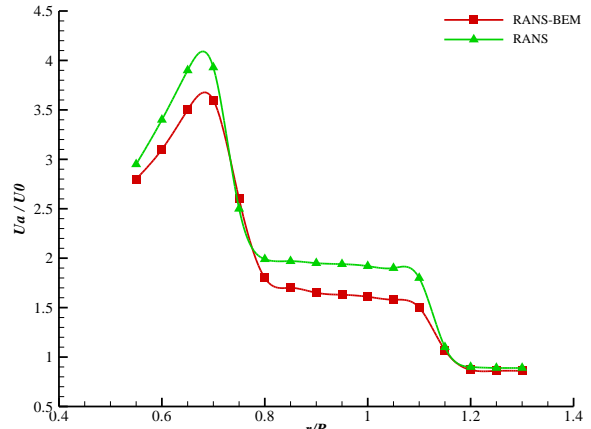
این تحقیق بر آن است یک روش عددی ترکیبی بر مبنای دو روش المان مرزی و حل عددی معادلات متوسط‌گیری شده ناوبر-استوکس، برای شبیه‌سازی عملکرد سیستم راش پاددار دارای اجزای چرخشی و غیرچرخشی را در کنار یکدیگر، همراه با مروری بر محاسبات و معایب روش‌های پتانسیل و ویسکوز استفاده شده در تحلیل هیدرودینامیکی سیستم راش پاددار ارائه کند. جریان در این روش ترکیبی حول پروانه به وسیله روش المان مرزی محاسبه و سپس از یک حل گر ویسکوز بر مبنای RANS برای تحلیل جریان حول پاد و استرات استفاده شد. نتایج این تحقیق نشان می‌دهد که روش ترکیبی RANS/BEMT دارای توانایی بالایی در تحلیل‌های هیدرودینامیکی پیش‌برنده‌های دریایی با استفاده از روش ترکیبی RANS/BEM شبیه‌سازی غیرچرخشی است. در این مطالعه اثر پروانه در روش ویسکوز به صورت نیروهای حجمی با استفاده از روش ترکیبی RANS شبهیه‌سازی می‌شود و مدل‌سازی دقیق میدان حل و شبکه‌بندی با تعداد سلول‌های زیاد در اطراف اجزای چرخشی مورد نیاز نیست. در این روش می‌توان اجزای چرخشی را با یکسری نیروهای معادل جایگزین کرد. نیروهای تراست و گشتاور پروانه به ترتیب به صورت توزیعی از سورس ترم‌های مومنتوم محوری و مماسی در معادلات حاکم بر جریان وارد شده و سبب شبیه‌سازی شتاب‌های محوری و دورانی ناشی از وجود پروانه می‌شوند. همان‌طور که می‌توان اثر پروانه را در تحلیل اجزای غیرچرخشی در روش ویسکوز مدل کرد، اثرات اجزای غیرچرخشی و ضرایب ویسکوز را با استفاده از دو سیکل انتقال نتایج در این روش ترکیبی نیز می‌توان در روش المان مرزی و نیروهای پروانه نیز در نظر گرفت در تحلیل سیستم‌های راش پاددار به روش ترکیبی RANS/BEM به صورت همزمان از مزایا دو روش پتانسیل و ویسکوز استفاده شده است. در واقع زمان حل کم و دقت مناسب برای تحلیل پروانه به تنهایی در روش پتانسیل، دقت و توانایی تحلیل جریان اطراف پاد و استرات در روش ویسکوز از مزایای این روش‌ها در استفاده هم‌زمان آن‌هاست.

9- تقدیر و تشکر

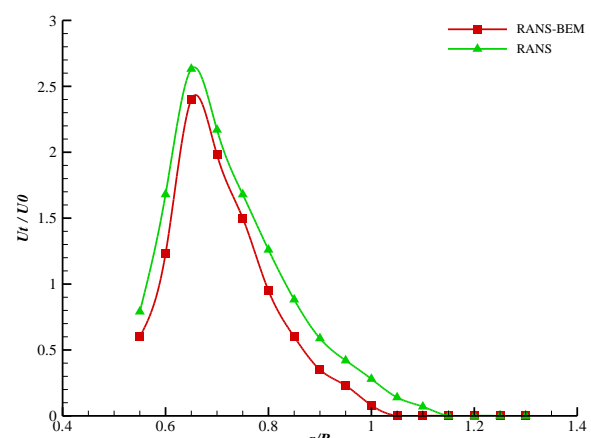
این محاسبات با همکاری و پیش‌تیانی مرکز تحقیقات پردازش‌های فوق سریع^۲

سبب ایجاد جریان‌های گردابی و جدایی جریان در پاد و استرات می‌شود. این موضوع در تحلیل به روش RANS با دقت بالایی شبیه‌سازی شده است در حالی که روش ترکیبی به علت تحلیل پروانه به روش المان مرزی و استفاده از یک چرخشی پیشنهادی قابلیت پیش‌بینی دقیق میدان در پایین دست جریان را ندارد. هر چند در نظر گرفتن یک سیکل بسته در روش ترکیبی و انتقال نتایج و سرعت‌ها بین این دو روش تا حدودی حل بهبود یافته، اما از دقت کمتری نسبت به روش ویسکوز برخوردار است.

در انتهای این بخش زمان حل روش ترکیبی RANS/BEM برای تحلیل سیستم راش با کارهای عددی انجام شده برای همین مدل هندسی به روش ویسکوز با شرایط فیزیکی مشابه مقایسه و در جدول 5 نشان داده شده است. این کارهای عددی مشابه شامل تحلیل در شرایط یکنواخت به روش RANS [13] و تحلیل عددی در شرایط غیریکنواخت URANS با مشاهده لغزان^۱ [14] است. زمان‌های ارائه شده شامل زمان‌های صرف شده در بخش‌های مدل‌سازی میدان حل و تولید شبکه، زمان لازم برای تنظیم شرایط فیزیکی مساله و در نهایت زمان حل مساله به ازای یک سرعت پیشروی مشخص است. همان‌طور که مشاهده می‌شود زمان مورد نیاز برای مدل‌سازی و تولید شبکه در روش‌های RANS و URANS به ترتیب در حدود 3 و 4 برابر روش ترکیبی RANS/BEM است. این موضوع در خصوص زمان حل مساله نیز صادق است. روش‌های RANS و URANS دارای زمان

Fig. 15 Axial velocity ratio in $X/D=0.25$, $J=0.25$

شکل 15 مقایسه نسبت سرعت محوری در $X/D=0.25$ و $J=0.2$

Fig. 16 Tangential velocity ratio in $X/D=0.25$, $J=0.25$

شکل 16 مقایسه نسبت سرعت مماسی در $X/D=0.25$ و $J=0.2$

¹ Sliding mesh

- incompressible viscous flow around a tractor thruster using a sliding-mesh technique, *Proceedings of 7th International Conference on Numerical Ship Hydrodynamics*, France, July, 1999.
- [12] H.Amini, S. Steen, Shaft loads on a azimuth propulsors in oblique flow and waves, *Maritime Engineering*, Vol. 153, Part A1, pp. A9-A21, 2011.
- [13] R. Shamsi, H. Ghassemi, D. Molnyeux, P. Liu, Numerical hydrodynamic evaluation of propeller (with hub taper) and podded drive in azimuthing conditions, *Ocean Engineering*, Vol. 76, No. 1, pp. 121-135, 2014.
- [14] R. Shamsi, H. Ghassemi, Time-Accurate Analysis of the Viscous Flow Around Puller Podded Drive Using Sliding Mesh Method, *Journal of Fluids Engineering*, Vol. 137, No. 1, p.011101, 2015.
- [15] J.M. Laurens, Unsteady hydrodynamic behaviour of a rudder operating in the propeller slipstream, *Ship Technology Research*, Vol 50, No. 3, pp.141-148, 2003.
- [16] L. Morino, C. C. Kuo, Subsonic potential aerodynamic for complex configuration: a general theory, *AIAA Journal*, Vol. 12, No. 2, pp. 191–197, 1974.
- [17] J. E. Kerwin, S. A. Kinnas, J. T. Lee, W.Z. Shih, A surface panel method for the hydrodynamic analysis of ducted propellers, *Transactions of SNAME 95*, pp. 93–122, 1987.
- [18] T. Hoshino, Hydrodynamic analysis of propellers in steady flow using a surface panel method, *the Society of Naval Architects of Japan*, Vol. 165, No. 6, pp. 55–70, 1989.
- [19] M. Islam, B. Veitch, A. Akinturk, N. Bose, P. Liu, Performance study of podded propulsors in static azimuthing conditions, *International Shipbuilding Progress*, Vol. 56, No. 3, pp. 135–157, 2009.
- [20] R. Shamsi, H. Ghassemi, Numerical investigation of yaw angle effects on propulsive characteristics of podded propulsors. *International Journal of Naval Architecture and Ocean Engineering*, Vol. 5, No. 2, pp. 287-301, 2013.
- [21] R. Shamsi, H. Ghassemi, Hydrodynamic analysis of puller and pusher of azimuthing podded drive at various yaw angles. *Proceedings of the Institution of Mechanical Engineers, Part M: Engineering for the Maritime Environment*, Vol. 228, No. 1, pp.55-69, 2014.
- [22] A. Vali, B. Saranjam, R. Kamali, A. Rabiee, Numerical Analysis of the propeller performance close to water surface, *Modares Mechanical Engineering*, Vol. 16, No. 1, pp. 291-299, 2016. (in Persian فارسی)
- [23] R. Shamsi, H. Ghassemi, Numerical study of podded Drives using Boundary Elements Methods, *Proceedings of 3rd Applied Hydrodynamic conference*, Tehran, Iran, February 24, 2016. (in Persian فارسی)

دانشگاه صنعتی امیرکبیر صورت پذیرفته که قابل تقدیر و تشکر است.

۱۰- مراجع

- [1] J. Carlton, *Marine propellers and propulsion*, Second Edition, pp. 345-353,Oxford: Butterworth-Heinemann, 2007.
- [2] J. Carlton, Podded propulsors: some results of recent research and full scale experience, *Marine Engineering and Technology*, Vol. 7, No. 1, pp. 1–14, 2008.
- [3] S.A. Kinnas, Prediction of Performance and Design of Propulsors-Recent Advances and Applications, *Proceedings of 2nd T-POD Conference*, Brest, France, October 3-5, 2006.
- [4] H. Ghassemi, Hydrodynamic Characteristics of Marine Propeller in Steady and Unsteady Wake Flow, *Science and Technology of AmirKabir*, Vol.14, No.54-B, 20032016. (in Persian فارسی)
- [5] F. París, d J. Cañas, *Boundary element method: fundamentals and applications*, pp. 1-5, Oxford: Oxford University Press, 1997.
- [6] J.T. Katsikadelis, *Boundary Elements: Theory and Applications*, pp. 1-5, Oxford: Elsevier, 2002.
- [7] H. Ghassemi, A. Allievi, A computational method for the analysis of fluid flow and hydrodynamic performance of conventional and podded propulsion systems, *Oceanic Engineering International*, Vol. 3, No. 1, pp. 101–115, 1999.
- [8] A. S. Achkinadze, A. Berg, V. I. Krasilnikov, I. E. Stepanov, Numerical analysis of podded and steering systems using a velocity based source boundary element method with modified trailing edge, *Proceeding of the Propellers/Shafing'2003 Symposium*, Virginia Beach, VA, USA, September, pp. 17-18, January 2003.
- [9] P. Liu, A. Akinturk, M. He, M. Islam, B. Veitch, Hydrodynamic performance evaluation of an ice class podded propeller under ice interaction, *ASME 2007 26th International Conference on Offshore Mechanics and Arctic Engineering*, Estoril, Portugal, pp. 669-676, January, 2007.
- [10] P. Liu, M. Islam, M. B. Veitch, Unsteady hydromechanics of a steering podded propeller unit, *Ocean Engineering*, Vol. 36, No. 12-13, pp. 1003–1014, 2009.
- [11] A.Sánchez-Caja, P. Rautaheimo, T. Siikonen, Computation of the